



پراکندگی چندگانه امواج فرماحتی از استوانه‌های همسانگرد عرضی جاسازی شده در ماتریس جامد ویسکوالاستیک

علی طاهری^۱، فرهنگ هنرور^{۲*}

۱- دانشجوی دکترا، مهندسی مکانیک، آزمایشگاه تست غیرمخرب، دانشگاه صنعتی خواجه نصیرالدین طوسی، تهران

۲- استاد، مهندسی مکانیک، آزمایشگاه تست غیرمخرب، دانشگاه صنعتی خواجه نصیرالدین طوسی، تهران

*henarvar@kntu.ac.ir 1999143344

چکیده

در این مقاله، تحلیل کاملی از پراکندگی چندگانه امواج الستیک در مواد مرکب فیبری تک جهته تحت تاثر قائم و مایل امواج طولی و عرضی با درنظر گرفتن اثرات میرایی در ماده زمینه و درنظر گرفتن استوانه‌ها به صورت همسانگرد و همسانگرد عرضی ارائه شده است. حل این مسئله در بازرسی فرماحتی مواد مرکب فیبری و بهطور خاص مواد مرکب با ماده زمینه پلیمری کاربرد دارد. بدین منظور با بسط تئوری پراکندگی امواج فرماحتی از تک استوانه، معادلات پراکندگی چندگانه در محیط ویسکوالاستیک با درنظر گرفتن هر سه نوع امواج طولی، عرضی با پلاریزاسیون افقی و عرضی با پلاریزاسیون عمودی ارائه می‌شود. در روش حاضر، امواج تابش با هر زاویه فضایی دلخواه قابل تحلیل است و امواج پراکنده شده نیز در هر نقطه دلخواه فضایی قابل محاسبه است. شایان ذکر است در روش ارائه شده در این مقاله محدودیتی در انتخاب تعداد استوانه‌ها و یا مرتبه پراکندگی وجود ندارد و پراکندگی تا هر مرتبه دلخواه قابل محاسبه است. به منظور انتشارسنجی نتایج تئوری، با توجه به در دسترس نبودن تحلیل تئوری یا تجربی مشابه، با ساخت یک قطعه و انجام آزمایش، نتایج تئوری با نتایج آزمایش مقایسه و تطبیق خوبی بین فرکانس‌های رزونانس به دست آمده از تئوری و آزمایش مشاهده شد.

اطلاعات مقاله

مقاله پژوهشی کامل

دربافت: ۰۶ خرداد ۱۳۹۳

پذیرش: ۰۷ تیر ۱۳۹۳

ارائه در سایت: ۰۶ آبان ۱۳۹۳

کلید واژگان:

پراکندگی فرماحتی

مواد مرکب فیبری تک جهته

استوانه همسانگرد عرضی

مواد ویسکوالاستیک

Multiple Scattering of an Acoustic Wave from Fibers Encased in a Solid Viscoelastic Medium

Ali Taheri, Farhang Honarvar*

Department of Mechanical Engineering, K.N. Toosi University of Technology, Tehran, Iran
* P.O.B. 19395-1999, Tehran, Iran, honarvar@kntu.ir

ARTICLE INFORMATION

Original Research Paper

Received 27 May 2014

Accepted 28 June 2014

Available Online 28 October 2014

Keywords:
Multiple Scattering
Fiber Reinforced Composite
Transversely Isotropic Fiber
Viscoelastic Material

ABSTRACT

In this paper, the problem of multiple scattering of obliquely incident elastic waves from fibers encased in a solid viscoelastic medium is studied. This problem has applications in ultrasonic nondestructive testing of composite materials. The fibers could be either isotropic or transversely isotropic. Based on the existing theory of elastic wave scattering from a single fiber, a mathematical model was developed for the multiple scattering of elastic waves from a number of parallel fibers embedded in a viscoelastic matrix. This model incorporates all three types of longitudinal, horizontally polarized shear, and vertically polarized shear waves. The incident wave angle can be arbitrarily chosen and the receiver can be at any desired location in space. The model is capable of handling any order of scattering from any number of cylinders. To validate the numerical results, a number of experiments were carried out on two steel cylinders embedded in a polymeric block. Using an ultrasonic probe, the scattered field from this block was measured and analyzed. The analytical and experimental results showed good agreement, particularly at their resonance frequencies.

استفاده از یک امواج صوتی پهن باند^۲، مدهای تشديد جسم غوطه‌ور تحریک می‌شوند. اگر فرکانس امواج بر یکی از فرکانس‌هایی تشید جسم منطبق شود، مده ارتعاشی متناظر جسم غوطه‌ور تحریک شده و جسم شروع به ارتعاش کرده و انرژی به درون سیال اطراف منتشر می‌کند. اهمیت بررسی پراکندگی امواج فرماحتی، شناسایی دقیق رفتار امواج فرماحتی در برخورد با قطعات و سازه‌ها به منظور بهره‌گیری از اطلاعات موجود در امواج بازگشتی و ارزیابی سازه است. در بررسی پراکندگی از مواد مرکب فیبری تحت برخورد امواج فرماحتی، موارد

۱- مقدمه

اماوج فرماحتی در اثر برخورد به یک هدف با ابعاد معین علاوه‌بر بازتاب، شکست و تغییر حالت، ممکن است در اطراف مرز مشترک دو جسم دچار پراکندگی شوند. هنگام برخورد امواج به یک هدف الستیک، امواج سطحی در اطراف هدف ایجاد شده و در صورت تداخل همغار این امواج، تشید صورت می‌گیرد. از فرکانس‌ها و مدهای تشید می‌توان به منظور ارزیابی و تعیین خصوصیات ماده استفاده کرد. چنین مطالعه‌ای طیفسنجی تشید صوتی^۱ (RAS) نامیده می‌شود. در RAS، با

2- Broad-band acoustic wave

1- Resonance Acoustic Spectroscopy

Please cite this article using:

A. Taheri, F. Honarvar, Multiple Scattering of an Acoustic Wave from Fibers Encased in a Solid Viscoelastic Medium, *Modares Mechanical Engineering*, Vol. 14, No. 15, pp. 423-430, 2015 (In Persian)

برای ارجاع به این مقاله از عبارت ذیل استفاده نمایید:

A. Taheri, F. Honarvar, Multiple Scattering of an Acoustic Wave from Fibers Encased in a Solid Viscoelastic Medium, *Modares Mechanical Engineering*, Vol. 14, No. 15, pp. 423-430, 2015 (In Persian)

در این مقاله، ابتدا تئوری پراکندگی از تک استوانه همسانگرد عرضی، که توسط فن و همکاران [4] ارائه شده است، بررسی و سپس با بسط این روش و استفاده از قضیه جمع گرفت [6]، فرمولاسیون پراکندگی چندگانه ارائه می شود. روابط ویسکوالاستیک لازم جهت تحلیل ماده زمینه ویسکوالاستیک، نیز به مساله اعمال خواهد شد. در روش ارائه شده، با توجه به درنظر گرفتن تبدیل انواع امواج طولی به عرضی و یا العکس، قابلیت بررسی تابش، تبدیل موج و پراکندگی امواج طولی، عرضی با پلاریزاسیون افقی و عرضی با پلاریزاسیون عمودی نیز در تابش قائم و مایل موج ورودی وجود دارد. همچنین، علاوه بر قابلیت تغییر زاویه تابش نسبت به امتداد استوانه ها، قابلیت تغییر زاویه تابش نسبت به خطوط اصل استوانه ها نیز وجود دارد و به عبارت دیگر، موج تابش با هر زاویه فضایی دلخواه قابل تحلیل است. علاوه بر این موج پراکندگه شده نیز در نقاط دلخواه فضایی قابل استخراج است. شایان ذکر است در تعداد استوانه ها و مرتبه پراکندگی نیز محدودیت وجود ندارد.

همچنین، با توجه به عدم ارائه نتایج آزمایشگاهی پراکندگی چندگانه برای محیط ویسکوالاستیک و غیر ویسکوالاستیک تاکنون، به منظور اعتبارسنجی روش تئوری، قطعه ای از ماده پلیمری ساخته و استوانه هایی از جنس فولاد در آن قرار داده شدند تا به کمک یک پرور فرما صوتی فرستنده گیرنده، موج بازگشتی از استوانه ها دریافت وتابع فرم مربوطه استخراج شود. نتایج آزمایشگاهی پراکندگی فرما صوتی از دو استوانه جاسازی شده در ماده جامد ویسکوالاستیک برای نخستین بار در این مقاله ارائه خواهد شد.

2- مدل ریاضی پراکندگی فرما صوتی از استوانه های موازی

به منظور ارائه روش حل برای پراکندگی چندگانه، در اینجا، ابتدا مدل ریاضی پراکندگی از تک استوانه جاسازی شده در ماتریس جامد بررسی می شود. مطابق شکل 1 یک موج صفحه ای با فرکانس $\omega/2\pi$ با زاویه α با یک استوانه نامحدود جاسازی شده در ماتریس جامد برخورد می کند. شعاع استوانه r_m و چگالی استوانه ρ_m و چگالی ماتریس جامد ρ_m است. دستگاه مختصات نیز مطابق شکل به گونه ای در نظر گرفته می شود که محور استوانه منطبق بر محور Z باشد. میدان جابه جایی داخل استوانه و ماتریس را می توان به صورت رابطه (1) تفکیک کرد [3]:

$$u(r,\theta,z) = \nabla\phi + \nabla \times (\chi\hat{e}_z) + a\nabla \times \nabla \times (\psi\hat{e}_z) \quad (1)$$

که در آن ϕ ، χ و ψ توابع پتانسیل هستند. در حالت کلی ϕ مربوط به موج فشاری، χ مربوط به موج عرضی با پلاریزاسیون افقی و ψ موج عرضی با پلاریزاسیون عمودی است. در ماتریس جامد هر کدام از این توابع پتانسیل می تواند شامل دو بخش موج ورودی و موج پراکندگه شده باشد. با توجه به شکل کلی معادلات انتشار موج براساس معادلات حرکت و فرض انتشار موج با فرکانس ω می توان شکل کلی توابع پتانسیل فوق را یافت. در ادامه، شاخص 1 برای خواص پلاریترهای استوانه و شاخص 2 برای ماتریس در نظر گرفته شده است. در صورتی که موج ورودی، فشاری باشد تابع پتانسیل به صورت رابطه (2) در نظر گرفته می شود [9]:

$$\phi_{2, \text{incident}} = \sum_{n=0}^{+\infty} \varepsilon_n r^n J_n(K_{2\perp}r) e^{i(K_{2zz} - \omega t)} \quad (2)$$

که در آن $K_{2\perp} = K_2 \cos\alpha$ ، $K_{2z} = K_2 \sin\alpha$ و K_2 عدد موج فشاری است. ε_n فاکتور نیومون است که مقدار آن به ازای $n=0$ برابر 1 و به ازای $n>0$ برابر 2 است. اگر موج ورودی یک موج برشی با پلاریزاسیون افقی (SH) باشد تابع پتانسیل به صورت رابطه (3) است [4]:

6- Graf's Addition Theorem

مختلفی می بایست در نظر گرفته شود. نخست اینکه امکان بازرسی تنها یکی از فیبرها (تک استوانه) با این روش دشوار است و در عمل می بایست شبکه ای از استوانه ها بررسی شود. همچنین، با توجه به کاربرد مواد پلیمری و دیگر مواد ویسکوالاستیک به عنوان ماده زمینه، تحلیل مساله بدون درنظر گرفتن اثرات میرایی کاربرد حل را محدود می کند. برخورد قائم موج ورودی به استوانه ها نیز در عمل ممکن است با محدودیت هایی همراه باشد. در حالت برخورد مایل امواج می توان اطلاعات بیشتری به دست آورد.

رابطه میان امواج سطحی و تشدید استوانه توسط محققان متعددی مورد بررسی قرار گرفته است. در این مطالعات نشان داده شده است که اگر فرکانس موج تحریک بر یکی از فرکانس های طبیعی استوانه منطبق شود، امواج سطحی بر روی محیط استوانه تداخل سازنده¹ نموده و موجب تشکیل امواج ایستا² حول جسم خواهند شد. این پدیده اساس تئوری پراکندگی تشدید³ است که توسط فلکس و همکارانش [1] ارائه شد. دیلی [2] نتایجی را به صورت تجربی از پراکندگی امواج صوتی از استوانه های ناهمسانگرد⁴ ارائه داد. هنرور و سینکلر [3] با استفاده از روش بسط مدهای نرمال یک حل تحلیلی برای مسئله پراکندگی موج فشاری از استوانه های همسانگرد عرضی غوطه ور در سیال ارائه کردند. پس از آن فن و همکارانش [4] با پیروی از همین روش و براساس بسط مدهای نرمال، یک حل تحلیلی برای مسئله پراکندگی امواج صوتی از یک استوانه های همسانگرد عرضی جاسازی شده در یک ماتریس الاستیک ارائه کردند. جمالی و همکاران [5] پراکندگی از پوسته استوانه های ساخته شده از FGM را بررسی کردند. آن ها مساله را به کمک ماتریس T و در حالت دوبعدی حل کردند. اخیرا، این شاخه از تحقیقات به دلیل امکان استفاده از آن برای ارزیابی غیر مخرب⁵ میله های همسانگرد عرضی و همچنین مواد مرکب تقویت شده فیبری مورد توجه قرار گرفته است. بیوا و همکارانش [6] یک روش محاسباتی برای پراکندگی چندگانه امواج عرضی از یک ماده مرکب تقویت شده فیبری تکجهته ارائه کردند. تولیپر و همکارانش [7] پراکندگی از یک شبکه خطی پوسته های استوانه ای کشسان را به صورت تحلیلی و آزمایشگاهی مورد مطالعه قرار دادند و به بررسی تاثیر متقابل تشدید در فرکانس های پائین پرداختند. هاشمی نژاد و علی بخشی [8] پراکندگی چندگانه از دو استوانه موازی در سیال ویسکوالاستیک را بررسی کردند. آن ها مساله را در حالت دوبعدی و برای تابش موج فشاری عمود بر استوانه ها حل کردند. سوداگر و همکاران [9] پراکندگی چندگانه از یک شبکه الیاف همسانگرد عرضی و پوشش دار غوطه ور در آب و جاسازی شده در ماتریس جامد را بررسی کردند. در زمینه انتشار امواج در مواد مرکب نیز کارهای مختلفی انجام شده است. دانشجو و رحیم زاده [10] انتشار موج در یک ماده کامپوزیتی حاوی ذرات کروی را بررسی کردند. دریابر و همکاران [11] نیز انتشار امواج لمب در ورق آلومنینیومی چسبیده شده به ماده کامپوزیتی را بررسی کردند. در برخی تحقیقات انجام شده در زمینه پراکندگی چندگانه، فرض شده است موج وارد استوانه های نمی شود و صرفاً با برخورد به آن ها پراکنده می شود. از جمله کاسیر و هازارد [13] با این فرض پراکندگی از تعداد دلخواه استوانه را در دوبعد تحلیل کردند. بریگانته [14] نیز پراکندگی چندگانه از استوانه ها از در ابعاد میکرو تحلیل کرده است. وی نیز فرض کرده است تعداد استوانه های نامحدود است و نتایج آزمایش خود را برای استوانه های غوطه ور در آب ارائه داده است.

1- Constructive interference

2- Standing waves

3- Resonance Scattering Theory (RST)

4- Anisotropic

5- Non-Destructive Evaluation (NDE)

ضرایب مجهول A_n , B_n , C_n براساس شرایط مرزی پیوستگی تنش و کرنش در مرز استوانه و ماتریس تعیین می‌شوند. ζ در حالت تابش موج فشاری برابر K_{2Z} و در حالت تابش موج عرضی برابر k_{2Z} است. s_1 , s_2 , s_3 به صورت رابطه (8) تعریف می‌شوند:

$$\begin{aligned} s_1^2 &= \frac{\xi - \sqrt{\xi^2 - 4\zeta c_{11}c_{44}}}{2c_{11}c_{44}} \\ s_2^2 &= \frac{\xi + \sqrt{\xi^2 - 4\zeta c_{11}c_{44}}}{2c_{11}c_{44}} \\ s_3^2 &= \frac{2(\rho_1\omega^2 - c_{44}\kappa_Z^2)}{c_{11} - c_{12}} \end{aligned} \quad (8)$$

که در آن ξ و ζ به صورت رابطه (9) تعریف می‌شوند.

$$\begin{aligned} \xi &= (c_{13} + c_{44})^2 \kappa_Z^2 + c_{11} (\rho_1 \omega^2 - c_{33} \kappa_Z^2) \\ &\quad + c_{44} (\rho_1 \omega^2 - c_{33} \kappa_Z^2) \\ \zeta &= (\rho_1 \omega^2 - c_{44} \kappa_Z^2) (\rho_1 \omega^2 - c_{33} \kappa_Z^2) \end{aligned} \quad (9)$$

q_1 و q_2 در معادله (9) به صورت رابطه (10) تعریف می‌شوند:

$$\begin{aligned} q_1 &= -\frac{-c_{11}s_1^2 - (c_{13} + 2c_{44})\kappa_Z^2 + \rho_1\omega^2}{aik_Z \left[-(c_{11} - c_{13} - c_{44})s_1^2 - c_{44}\kappa_Z^2 + \rho_1\omega^2 \right]} \\ q_2 &= \frac{aik_Z \left[-(c_{11} - c_{13} - c_{44})s_2^2 - c_{44}\kappa_Z^2 + \rho_1\omega^2 \right]}{c_{11}s_2^2 + (c_{13} + c_{44})\kappa_Z^2 + \rho_1\omega^2} \end{aligned} \quad (10)$$

تابع پتانسیل امواج پراکنده شده نیز به صورت رابطه (11) بیان می‌شوند [4]:

$$\begin{aligned} \phi_{2,\text{scattered}} &= \sum_{n=0}^{+\infty} D_n H_n(K_{2\perp}r) \cos(n\theta) e^{i(\kappa_Z z - \omega t)} \\ \psi_{2,\text{scattered}} &= \sum_{n=0}^{+\infty} E_n H_n(K_{2\perp}r) \cos(n\theta) e^{i(\kappa_Z z - \omega t)} \\ \chi_{2,\text{scattered}} &= \sum_{n=0}^{+\infty} F_n H_n(K_{2\perp}r) \sin(n\theta) e^{i(\kappa_Z z - \omega t)} \end{aligned} \quad (11)$$

که در آن H_n تابع هنکل نوع اول و D_n , E_n و F_n ضرایب مجهول هستند. به کمک تابع پتانسیل معروفی شده در روابط فوق برای موج پراکنده شده و تابش در ماتریس می‌توان میدان جابه‌جایی را از رابطه (12) بدست آورد:

$$U_2 = U_{2,\text{scattered}} + U_{2,\text{incident}} \quad (12)$$

حال با اعمال شرایط مرزی پیوستگی تنش و کرنش در مرز دو ماده طبق رابطه (13) می‌توان ضرایب مجهول را یافت.

$$[U_r, U_\theta, U_z, \sigma_{rr}, \sigma_{r\theta}, \sigma_{rz}]_{1,r=a} = [U_r, U_\theta, U_z, \sigma_{rr}, \sigma_{r\theta}, \sigma_{rz}]_{2,r=a} \quad (13)$$

به منظور بررسی امواج پراکنده شده از تابع فرم استفاده می‌شود. در حالت تابش موج فشاری، تابع فرم به صورت رابطه (14) تعریف می‌شود [4]:

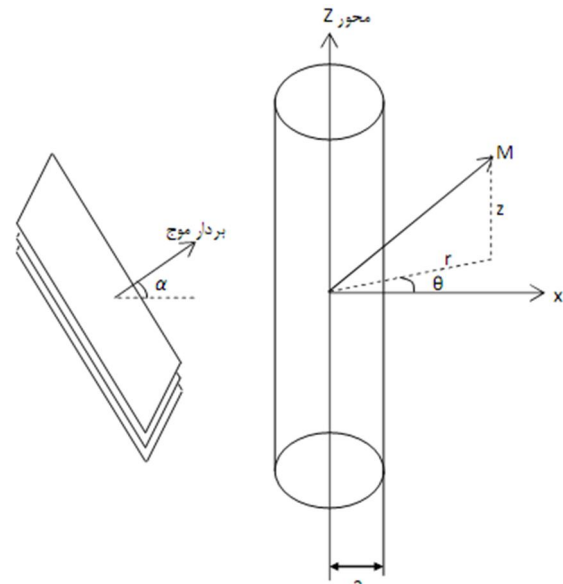
$$f_\infty(K_{2a}) = \sum_{n=0}^{+\infty} \frac{2}{\sqrt{1/\pi K_{2a}}} \varepsilon_n \cos(n\theta) Q_n \quad (14)$$

و برای تابش موج برشی تابع فرم به صورت رابطه (15) است:

$$f_\infty(k_{2a}) = \sum_{n=0}^{+\infty} \frac{2}{\sqrt{1/\pi k_{2a}}} \varepsilon_n \cos(n\theta) Q_n \quad (15)$$

در حالت تابش موج فشاری برابر با D_n در حالت تابش موج برشی با P_n در حالت تابش موج افقی برابر با F_n و در حالت تابش موج برشی با پلاریزاسیون افقی E_n عمودی برابر با E_n است.

به منظور تحلیل پراکندگی چندگانه، فرض می‌شود یک دسته موج صفحه‌ای بینهایت با فرکانس ω به یک شبکه مشکل از N استوانه همسانگرد عرضی به شعاع a و با طول بینهایت، جلسازی شده در یک ماتریس همسانگرد تابیده می‌شود. بردار موج نسبت به محور هر استوانه زاویه α تشکیل می‌دهد. بر روی هر استوانه یک سیستم



شکل ۱ هندسه پراکندگی از تک استوانه تحت تابش مایل موج

$$\chi_{2,\text{incident}} = \sum_{n=0}^{+\infty} \varepsilon_n i^n J_n(k_{2\perp}r) \sin(n\theta) e^{i(k_{2Z}z - \omega t)} \quad (3)$$

که در آن $k_{2\perp} = k_2 \sin \alpha$, $k_{2Z} = k_2 \cos \alpha$ و k_2 عدد موج برشی است. به همین ترتیب برای موج تابش برشی با پلاریزاسیون عمودی (SV) از رابطه (4) استفاده می‌شود [4]:

$$\psi_{2,\text{incident}} = \sum_{n=0}^{+\infty} \varepsilon_n i^n J_n(k_{2\perp}r) \cos(n\theta) e^{i(k_{2Z}z - \omega t)} \quad (4)$$

در صورتی که استوانه از یک ماده همسانگرد عرضی ساخته شده باشد، رابطه تنش و کرنش در استوانه به صورت رابطه (5) خواهد بود:

$$\begin{bmatrix} \sigma_{rr} \\ \sigma_{\theta\theta} \\ \sigma_{zz} \\ \sigma_{z\theta} \\ \sigma_{rz} \\ \sigma_{r\theta} \end{bmatrix} = \begin{bmatrix} c_{11} & c_{12} & c_{13} & 0 & 0 & 0 \\ c_{12} & c_{11} & c_{13} & 0 & 0 & 0 \\ c_{13} & c_{13} & c_{33} & 0 & 0 & 0 \\ 0 & 0 & 0 & c_{44} & 0 & 0 \\ 0 & 0 & 0 & 0 & c_{44} & 0 \\ 0 & 0 & 0 & 0 & 0 & \frac{c_{11}-c_{12}}{2} \end{bmatrix} \begin{bmatrix} \varepsilon_{rr} \\ \varepsilon_{\theta\theta} \\ \varepsilon_{zz} \\ \varepsilon_{z\theta} \\ \varepsilon_{rz} \\ \varepsilon_{r\theta} \end{bmatrix} \quad (5)$$

که در آن ε_{jj} , ε_{ij} و ε_{ij} به ترتیب درایه‌های تانسورهای تنش، کرنش و ثابت‌های کشسانی ماده هستند. معادلات حرکت در حالت غیاب نیروهای خارجی در مختصات استوانه‌ای به صورت رابطه (6) هستند.

$$\begin{aligned} \frac{\partial \sigma_{rr}}{\partial r} + \frac{1}{r} \frac{\partial \sigma_{r\theta}}{\partial \theta} + \frac{\partial \sigma_{rz}}{\partial z} + \frac{1}{r} (\sigma_{rr} - \sigma_{\theta\theta}) &= \rho_c \frac{\partial^2 u_r}{\partial t^2} \\ \frac{\partial \sigma_{r\theta}}{\partial r} + \frac{1}{r} \frac{\partial \sigma_{\theta\theta}}{\partial \theta} + \frac{\partial \sigma_{z\theta}}{\partial z} + \frac{2}{r} \sigma_{r\theta} &= \rho_c \frac{\partial^2 u_\theta}{\partial t^2} \\ \frac{\partial \sigma_{rz}}{\partial r} + \frac{1}{r} \frac{\partial \sigma_{z\theta}}{\partial \theta} + \frac{\partial \sigma_{zz}}{\partial z} + \frac{1}{r} \sigma_{rz} &= \rho_c \frac{\partial^2 u_z}{\partial t^2} \end{aligned} \quad (6)$$

در رابطه فوق، u_i مولفه‌های بردار جابه‌جایی هستند. با کمک روابط (5) و (6) روابط کرنش-جابه‌جایی و با جایگذاری شکل کلی تابع پتانسیل معروفی شده، توابع پتانسیل مورد نیاز جهت بدست آوردن جواب‌های غیربدیدهی به صورت رابطه (7) بدست می‌آیند [4].

$$\begin{aligned} \phi_1 &= \sum_{n=0}^{+\infty} [A_n J_n(s_1 r) + B_n J_n(s_2 r)] \cos(n\theta) e^{i(\kappa_Z z - \omega t)} \\ \psi_1 &= \sum_{n=0}^{+\infty} [q_1 A_n J_n(s_1 r) + B_n J_n(s_2 r)] \cos(n\theta) e^{i(\kappa_Z z - \omega t)} \\ \chi_1 &= \sum_{n=0}^{+\infty} C_n J_n(s_3 r) \sin(n\theta) e^{i(\kappa_Z z - \omega t)} \end{aligned} \quad (7)$$

که در آن G_0 حد مرزی مدول برشی در فرکانس های بالا و پایین و $\gamma = \frac{\alpha\pi}{2}$ است. $\tau = \frac{1}{\omega_0}$ زمان آسایش² و $\alpha, \beta < 0$ ضرایب بی بعد و از مشخصات ماده هستند. η فاکتور میرایی³ است که به صورت رابطه (20) تعریف می شود:

$$\eta(\omega) = \frac{G''(\omega)}{G'(\omega)} = \frac{(1-\Omega)\sin(\beta v)}{\left[1+2\omega^\alpha \tau^\alpha \cos\gamma + \omega^{2\alpha} \tau^{2\alpha}\right]^{\beta/2} - (1-\chi)\cos(\beta v)} \quad (20)$$

که در آن $\Omega = G_0/G_\infty$ و v از رابطه (21) بدست می آید:

$$v(\omega) = \tan^{-1} \frac{\omega^\alpha \tau^\alpha \sin\gamma}{1+\omega^\alpha \tau^\alpha \cos\gamma} \quad (21)$$

بنابراین، η به نسبت G_0 و G_∞ وابسته است. با فرض حقیقی بودن

ضریب پواسون ثوابت لامه به صورت رابطه (22) بدست می آید:

$$\begin{aligned} \lambda^*(\omega) &= \frac{2v}{1-2v} G^*(\omega) \\ \mu_s^*(\omega) &= G^*(\omega) \end{aligned} \quad (22)$$

3- روش انجام آزمایش

آزمایش به روش MIIR پالس کوتاه انجام و موج پراکندگی ناشی از پراکندگی از دو استوانه به دست خواهد آمد. در این روش یک سیگنال پالس کوتاه پهن باند به جسم تابانده می شود. با تابیده شدن این پالس صوتی به استوانه هدف، یک میدان پراکندگی توسط استوانه تولید و به وسیله یک پروب گیرنده دریافت می شود. در آزمایش پراکندگی بازگشتی از یک پروب به عنوان فرستنده و گیرنده امواج استفاده می شود. در شکل 2، چیدمان مورد استفاده در این روش نشان داده است. اولین قسمت اکوی پراکندگی بازگشتی دریافتی توسط پروب گیرنده مربوط به موج بازتابش است. اکوهایی که پس از موج بازتابش می رسد، مربوط به تشدیدهای تولید شده توسط امواج سطحی بر روی سطح استوانه هستند. طیف فرکانسی اکوی پراکندگی بازگشتی شامل اثرات میدان پراکندگی تولید شده توسط استوانه و مشخصات فرکانسی سیستم اندازه گیری است. با حذف اثرات فرکانسی سیستم اندازه گیری و رسم طیف به دست آمده به صورت تابعی از فرکانس بی بعد ka ، تابع فرم استوانه به دست می آید. محدوده ka مربوط به هر آزمایش علاوه بر خواص مکانیکی استوانه و محیط، ناشی از دو متغیر پهنای باند پروب و شعاع استوانه است. بنابراین، تغییر بازه فرکانسی مستلزم تغییر استوانه و یا پروب است. با پردازش اکوی موج بازگشتی می توان تابع فرم جسم مورد نظر را بدست آورد. پردازش اکوی بازگشتی شامل دو قسمت به دست آوردن طیف فرکانسی موج پراکنده شده و حذف مشخصات فرکانسی سیستم اندازه گیری از سیگنال دریافتی است.

به این منظور، یک قطعه مکعبی از جنس پلی آمید انتخاب و دو میله از جنس فولاد و به قطر 6 میلیمتر به صورت موازی در آن جاسازی شدند. فاصله مرکز به مرکز دو استوانه 10 میلیمتر و طول استوانه ها 80 میلیمتر بود. فاصله استوانه ها از وجهی از قطعه، که پروب بر روی آن قرار می گرفت، 40 میلیمتر بود. از یک پروب قائم تابش موج طولی با فرکانس مرکزی 2 مگاهرتز برای ارسال و دریافت امواج استفاده شد. قطر پروب 25 میلیمتر و پهنای باند قابل استفاده آن بین 1/2 تا 2/8 میلیمتر بود. از یک دستگاه پالس ساز گیرنده⁴ نیز برای ایجاد و دریافت پالس استفاده شد، با توجه به قطر پروب و فاصله استوانه ها تا پروب، می توان موج تابیده شده را به صورت صفحه ای در نظر گرفت.

2- Relaxation time

3- Loss factor

4- Pulser-Receiver

مختصات محلی (r_C, θ_C, z_C) درنظر گرفته می شود، به صورتی که محور z هریک از آنها منطبق بر محور استوانه و محور x در امتداد جهت تابش موج باشد.

در روش حاضر برای بررسی پراکندگی چندگانه لازم است موج پراکنده شده از هر استوانه توسط قضیه جمع گرفت به فرم تابع موج تابیده شده به استوانه بعدی در آید.

بر این اساس توابع پتانسیل موج تابشی، بر حسب نوع موج تابشی، به صورت کلی تر، مطابق رابطه (16)، درنظر گرفته می شوند:

$$\begin{aligned} \phi_{2,inc}^C &= \sum_{n=0}^{+\infty} \varepsilon_n \phi_{0,n}^C i^n J_n(k_{2\perp} r) \cos(n\theta) e^{i(\kappa z z - \omega t)} \\ \psi_{2,inc}^C &= \sum_{n=0}^{+\infty} \varepsilon_n \psi_{0,n}^C i^n J_n(k_{2\perp} r) \cos(n\theta) e^{i(\kappa z z - \omega t)} \\ \chi_{2,inc}^C &= \sum_{n=0}^{+\infty} \varepsilon_n \chi_{0,n}^C i^n J_n(k_{2\perp} r) \sin(n\theta) e^{i(\kappa z z - \omega t)} \end{aligned} \quad (16)$$

پارامترهای $\varepsilon_{0,n}$ ، $\phi_{0,n}^C$ و $\chi_{0,n}^C$ ، برای حالتی که موج تابیده شده از استوانه شماره c به j و $c \rangle j$ باشد، به صورت رابطه (17) است [9].

$$\begin{aligned} \phi_{0,n}^C &= \sum_{m=-\infty}^{+\infty} D_m^C H_{n-m}^{(1)}(k_{2\perp} d_{cj}) \\ \psi_{0,n}^C &= \sum_{m=-\infty}^{+\infty} E_m^C H_{n-m}^{(1)}(k_{2\perp} d_{cj}) \\ \chi_{0,n}^C &= \sum_{m=-\infty}^{+\infty} F_m^C H_{n-m}^{(1)}(k_{2\perp} d_{cj}) \end{aligned} \quad (17)$$

همچنین، اگر $j \rangle c$ باشد، رابطه (18) برقرار است:

$$\begin{aligned} \phi_{0,n}^C &= \sum_{m=-\infty}^{+\infty} D_m^C H_{n-m}^{(1)}(k_{2\perp} d_{cj}) \\ \psi_{0,n}^C &= \sum_{m=-\infty}^{+\infty} E_m^C i^{2(m-n)} H_{m-n}^{(1)}(k_{2\perp} d_{cj}) \\ \chi_{0,n}^C &= \sum_{m=-\infty}^{+\infty} F_m^C H_{n-m}^{(1)}(k_{2\perp} d_{cj}) \end{aligned} \quad (18)$$

فاصله دو استوانه c و j را یکدیگر است. به کمک روابط معرفی شده در معادلات (17) و (18) و روابط پراکندگی از تک استوانه، می توان پراکندگی چندگانه را تحلیل نمود.

باید در نظر داشت در حالت پراکندگی چندگانه، در حالت تابش مایل، پس از برخورد هر یک از سه نوع موج بررسی شده در این مقاله به یک استوانه، هر سه نوع این امواج ایجاد و پراکنده می شوند و هر یک از سه موج پراکنده شده پس از برخورد به سایر استوانه ها سه موج دیگر را ایجاد می کنند. لذا، تعداد پراکندگی هایی که لازم است بررسی شود به صورت تصادعی افزایش می یابد.

اما در حالت تابش قائم، پس از برخورد امواج برشی با پلاریزاسیون افقی (SH)، تنها امواج SH پراکنده می شوند و تبدیل حالت موج تنها بین دو موج طولی و SV اتفاق می افتد. لذا، تعداد امواج پراکنده شده به مراتب کمتر از حالت تابش موج مایل خواهد بود.

به منظور تحلیل رفتار ویسکوالاستیک ماتریس از مدل هاورلیاک نگامی¹ استفاده می شود. استفاده از این مدل منجر به بدست آمدن ضرایب لامه به صورت مختلط که تابعی از فرکانس هستند می شود. براساس این مدل مدول پوشی مختلط و تابع فرکانس به صورت رابطه (19) است [8]:

$$\begin{aligned} G(\omega) &= G'(\omega) + i G''(\omega) \\ G'(\omega) &= G_0 + \frac{(G_0 - G_\infty) \cos(\beta v)}{\left[1+2\omega^\alpha \tau^\alpha \cos\gamma + \omega^{2\alpha} \tau^{2\alpha}\right]^{\beta/2}} \\ G''(\omega) &= \frac{(G_\infty - G_0) \sin(\beta v)}{\left[1+2\omega^\alpha \tau^\alpha \cos\gamma + \omega^{2\alpha} \tau^{2\alpha}\right]^{\beta/2}} \end{aligned} \quad (19)$$

1- Havreliaik-Negami

از یک پروب تابش موج طولی عمود با فرکانس مرکزی 2 مگاهرتز برای ارسال و دریافت امواج استفاده شد. تابع فرم این دو حالت در شکل 3 نشان داده شده است. همان طور که در شکل مشخص است، سیر کلی دو تابع و همچنین نقاط مینیمم آنها که نشان دهنده فرکانس های تشیدید است تطابق خوبی با هم دارند. در شکل 3، ka هایی که در حالت تجربی تشیدید در آن اتفاق افتاده است به صورت نقاط مینیمم مشخص اند. نقاط متناظر حالت تئوری در نزدیکی نقاط تجربی قابل مشاهده است.

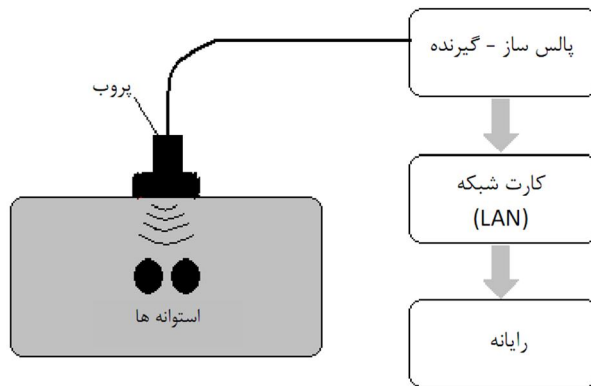
همان طور که قبل نیز توضیح داده شد، مهمترین اطلاعاتی که می توان از رسم تابع فرم به دست آورد، فرکانس های تشیدید و مد های حاصل از این فرکانس ها است. لذا، وجود تفاوت در اندازه تابع فرم در صورت تطابق سیر کلی دو تابع تجربی و تحلیلی و فرکانس های تشیدید به دست آمده از آنها قابل اعتماد است. در جدول 1 فرکانس های بی بعد تشیدید حاصل از دو روش با هم مقایسه شده است. حداقل خطای موجود $3/2$ درصد و قابل قبول است.

به منظور اعتبارسنجی روش تئوری ارائه شده در این مقاله، علاوه بر نتایج تجربی که در بخش قبل توضیح داده شد، از مقایسه نتایج پراکندگی چندگانه و منفرد از استوانه های جاسازی شده در محیط جامد نیز استفاده می شود. در پراکندگی چندگانه شکل تابع فرم وابسته به فاصله استوانه ها از هم است و هرچه دو استوانه از هم دورتر باشند، اثر آنها بر روی هم نیز کمتر است. لذا، می توان انتظار داشت با زیاد شدن فاصله دو استوانه از هم، تابع فرم به حالت تک استوانه نزدیک شود. مقایسه دیگری که بین حالت تک استوانه و پراکندگی چندگانه می توان انجام داد این است که با توجه به اینکه حالت چندگانه به نوعی از جمع آثار¹ مراتب مختلف پراکندگی حاصل می شود، انتظار می رود فرکانس های تشیدید حالت منفرد در حالت چندگانه نیز مشاهده شوند.

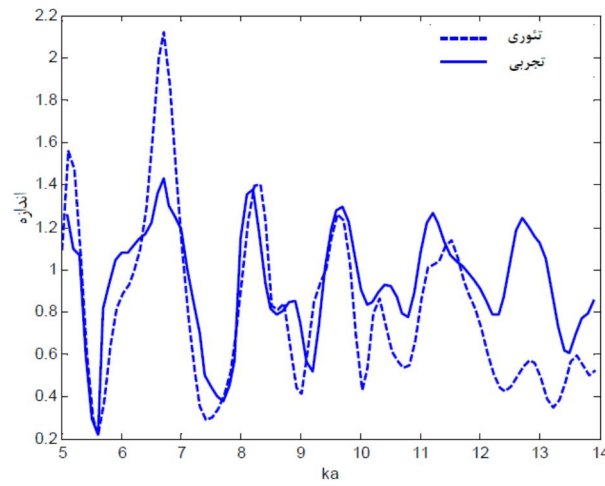
برای مقایسه نتایج تئوری پراکندگی چندگانه و تک استوانه ابتدا دو استوانه از جنس فولاد که در ماتریسی از جنس اپوکسی قرار داده شده اند را در نظر می گیریم. فرض می کنیم، مطابق شکل 4، موجی فشاری و صفحه ای با زاویه 3 درجه نسبت به افق ($\alpha=3^{\circ}$) به این دو استوانه تابیده شود. خواص اپوکسی و فولاد در جدول 2 آورده شده است. قطر استوانه ها $0/37$ میلیمتر است. اگر فاصله استوانه ها را از هم زیاد کنیم، انتظار می رود تابع فرم به حالت تک استوانه نزدیک شود. به این منظور مسأله را در حالتی که فاصله دو استوانه از هم زیاد باشد، با حالت تک استوانه مقایسه می کنیم. در این حالت با توجه به افزایش فاصله، اثر استوانه ها بر روی هم اندک و تابع فرم به تابع فرم حالت تک استوانه میل کرده است. شکل 5 مقایسه دو حالت گفته شده را نشان می دهد.

در حالتی که دو استوانه در فاصله نزدیک به هم قرار دارند، انتظار می رود کلیه فرکانس های تشیدید که در حالت منفرد مشاهده می شوند در حالت چندگانه نیز وجود داشته باشند. به این منظور تابع فرم موج پراکنده شده از دو استوانه، با فاصله مرکز به مرکز 1 میلیمتر و قطر $0/37$ میلیمتر، با حالت تک استوانه برای موج فشاری در شکل 6 و برای موج SH در شکل 7 مقایسه شده است. همان طور که در این شکل ها مشاهده می شود، در هر فرکانسی که نقطه مینیممی در منحنی تک استوانه وجود دارد و نشان دهنده یک تشیدید است، یک مینیمم نیز در حالت چندگانه وجود دارد و علاوه بر آن در حالت چندگانه چند تشیدید دیگر نیز اتفاق افتاده است که به دلیل اثر متقابل دو استوانه بر روی هم است.

1-Super Position



شکل 2 شماتیک سیستم انجام آزمایش



شکل 3 پراکندگی چندگانه موج فشاری از دو استوانه، نتایج تئوری و آزمایش

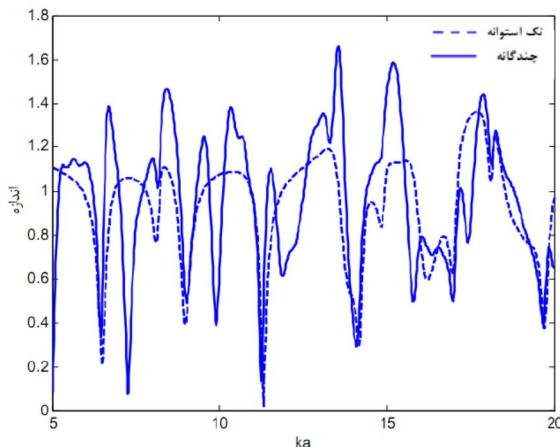
درصد خطأ	تجربی	تئوری
5/6	5/6	0
7/7	7/45	3/2
8/6	8/6	0
9/15	9	1/6
10/1	10	1/0
10/85	10/85	0
12/15	12/3	1/2
13/45	13/15	2/2

فرکانس نمونه برداری 100 مگاهرتز بود و از یک مبدل آنالوگ به دیجیتال برای تبدیل امواج بازگشتی استفاده شد. موج بازگشتی به کمک تبدیل فوریه سریع به حوزه فرکانس منتقل شدند.

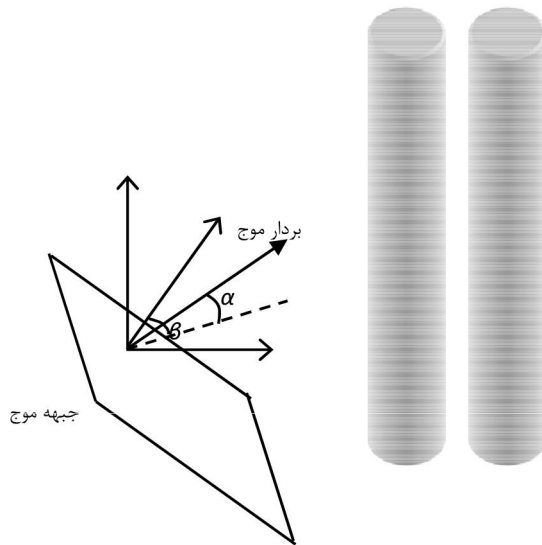
4- نتایج عددی و آزمایشگاهی

در این قسمت، ابتدا نتایج اعتبارسنجی می شود و سپس به کمک چند مثال، کاربرد و اهمیت روش ارائه شده در این مقاله بیشتر مورد بررسی قرار خواهد گرفت.

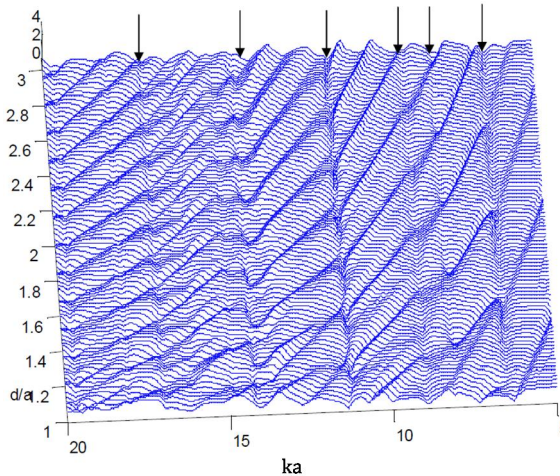
به منظور بررسی تجربی اعتبار نتایج تئوری برای حالت توضیح داده شده در بخش آزمایش، یک قطعه مکعبی از جنس پلی آمید انتخاب و دو میله از جنس فولاد و به قطر 6 میلیمتر به صورت موازی در آن جاسازی شدند. فاصله مرکز به مرکز دو استوانه 10 میلیمتر و طول استوانه ها 80 میلیمتر بود. فاصله استوانه ها از وجهی از قطعه که پروب بر روی آن قرار می گرفت، 40 میلیمتر و



شکل 7 مقایسه امواج SH پراکنده شده از دو استوانه و پراکندگی از تک استوانه



شکل 4 هندسه مساله پراکندگی چندگانه



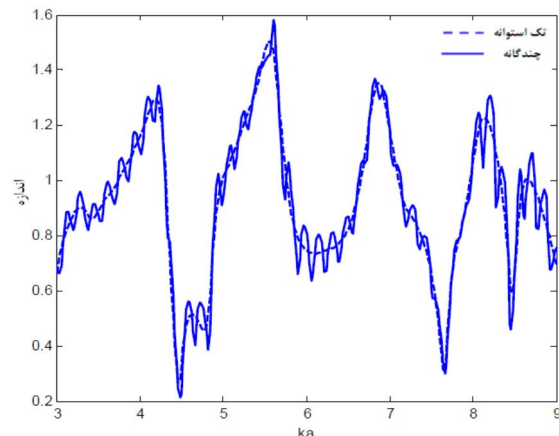
شکل 8 نمودار سه بعدی امواج SH پراکنده شده از دو استوانه در فواصل مختلف از هم

جدول 3 پارامترهای مورد استفاده در مدل هاورلیاک نگامی [8]

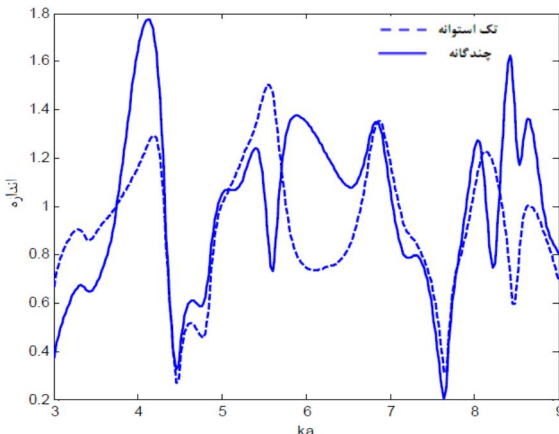
پارامتر	مقدار	پارامتر	مقدار
G_0 (MPa)	33/72	α	0/48
G_∞ (MPa)	14530	β	0/41
τ (sec)	$3/139 \times 10^{-9}$	ρ (kg/m ³)	1101

همچنین، تاثیر فاصله دو استوانه بر روی طیف امواج پراکنده شده نیز قابل بررسی است. در شکل 8، تابع فرم پراکندگی امواج SH از دو استوانه با فواصل مختلف از هم ترسیم شده است (d : فاصله مرکز به مرکز دو استوانه و a : شعاع است). همان‌طور که در شکل دیده می‌شود، برخی فرکانس‌های تشیدی ثابت‌اند (با فلش بر روی شکل مشخص شده است) و برخی دیگر با دور شدن استوانه‌ها از هم به صورت پیوسته تغییر می‌کنند. فرکانس‌هایی که ثابت‌اند مربوط به حالت تک استوانه‌اند و سایر تشیدیدهای ناشی از اثر استوانه‌ها بر روی یکدیگر است.

یکی از مواردی که در تحلیل پراکندگی اهمیت دارد زاویه تابش موج به استوانه‌هاست. در حالت قائم، حل مساله به مراتب ساده‌تر و انجام آزمایش نیز دشواری‌های کمتری دارد، اما در حالت تابش مایل اطلاعات کاملاً تری از نمونه می‌توان به دست آورد و در مقابل انجام محاسبات با حجم بیشتری همراه است. بدین‌ونعیان یک مثال، پراکندگی از دو استوانه همسانگرد عرضی از جنس کیالت که در ماتریسی از جنس پلیمر جاسازی شده است را بررسی می‌کنیم. خواص ماتریس در جدول 3 داده شده است. شکل 9 تابع فرم امواج طولی حاصل از تابش امواج طولی در این حالت را نشان می‌دهد.



شکل 5 مقایسه امواج فشاری پراکنده شده از دو استوانه با فاصله زیاد از هم در مقایسه با پراکندگی از تک استوانه



شکل 6 مقایسه امواج فشاری پراکنده شده از دو استوانه و پراکندگی از تک استوانه

جدول 2 خواص فیزیکی مواد [12]

ماده	چگالی (kg/m ³)	ثوابت الاستیک [$\times 10^{11}$ N/m ²]
C_{11}	C_{12}	C_{13}
0/079	0/039	0/039
3/278	1/402	1/402
2/95	1/59	1/11
		C_{33}
		3/079
		9/38
		0/71
		1129
		7800
		8900
		فولاد
		اپوکسی
		کیالت

پس از برخورد امواج برشی با پلاریزاسیون افقی (SH)، تنها امواج SH پراکنده می‌شوند و تبدیل حالت موج تنها بین دو موج طولی و SV اتفاق می‌افتد. لذا، تعداد امواج پراکنده شده به مراتب کمتر از حالت تابش موج مایل خواهد بود.

5- نتیجه‌گیری

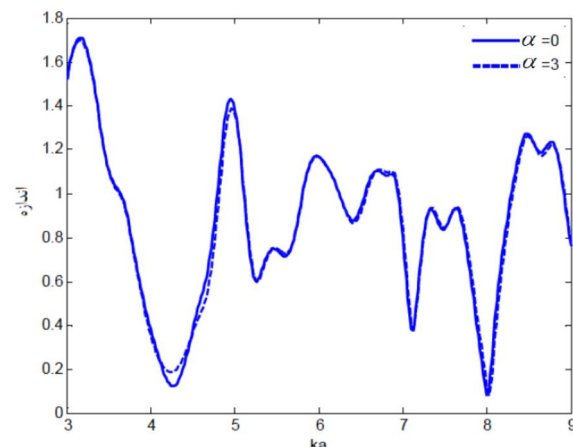
در این مقاله، به کمک تئوری پراکندگی از تک استوانه همسانگرد عرضی و با بسط این روش و استفاده از قضیه جمع گرف و روابط ویسکوالاستیک، فرمولاسیون پراکندگی چندگانه با درنظر گرفتن اثر میرایی ارائه شد. در این روش با توجه به درنظر گرفتن تبدیل انواع امواج طولی و عرضی به هم، قابلیت بررسی تابش، تبدیل موج و پراکندگی امواج طولی، عرضی با پلاریزاسیون افقی و امواج عرضی با پلاریزاسیون عمودی در تابش قائم و مایل به صورت همزمان وجود دارد. همچنین، در این روش قابلیت تحلیل دلخواه با هر زاویه دلخواه وجود داشته و موج پراکنده شده نیز در هر نقطه دلخواه قابلیت قابل محاسبه است. شایان ذکر است در تعداد استوانه‌ها و مرتبه پراکندگی نیز محدودیتی وجود ندارد و با توجه به امکان تحلیل پراکندگی چندگانه با درنظر گرفتن همه انواع امواج طولی و عرضی امکان تحلیل دقیق‌تر پراکندگی در حالت قائم و مایل فراهم شده و شکل دقیقی از تابع فرم قابل استخراج است.

در بخش نتایج آزمایشگاهی نیز قطعه‌ای از جنس ماده پلیمری ساخته و استوانه‌هایی از جنس فولاد در آن قرار داده شد تا، به کمک یک پروب فرستنده-گیرنده، موج بازگشتی از استوانه‌ها دریافت و تابع فرم مربوطه استخراج شود. فرکانس‌های تشیدی بدست آمده از آزمایش که به صورت نقاط کمینه در تابع فرم ظاهر می‌شوند، تطابق خوبی با نتایج تئوری داشتند. همچنین، برای اعتبارسنجی بیشتر، نتایج در حالت‌های مختلف با پراکندگی منفرد مقایسه و شباهت‌ها و تفاوت‌های منطقی مشاهده شد.

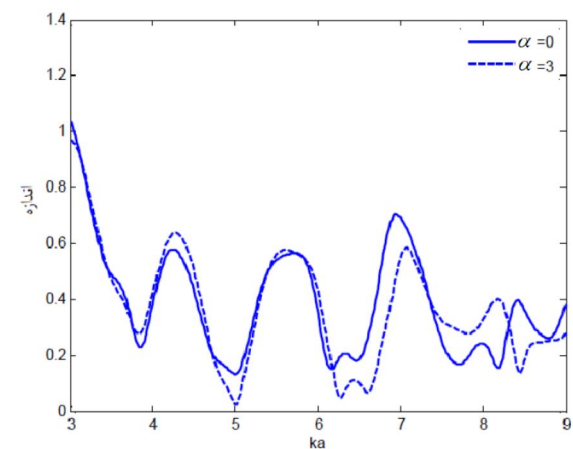
از دید انواع امواج ایجاد شده طولی و عرضی، مقایسه‌ای در حالت پراکندگی چندگانه، در حالت تابش مایل و قائم انجام شد. در تابش مایل، پس از برخورد هر یک از سه نوع موج طولی، SV و SH به یک استوانه، هر سه نوع موج ایجاد و پراکنده می‌شوند و هر یک از این سه نوع موج پراکنده شده پس از برخورد به سایر استوانه‌ها سه نوع موج دیگر ایجاد می‌کنند. در نتیجه تعداد پراکندگی‌هایی که لازم است بررسی شوند به صورت تصاعدی افزایش می‌یابد. اما، در حالت تابش قائم، پس از برخورد امواج برشی با پلاریزاسیون افقی (SH)، تنها امواج SH پراکنده می‌شوند و تبدیل حالت موج تنها بین دو موج برشی و SV صورت می‌گیرد. لذا، تعداد امواج پراکنده شده به مراتب کمتر از حالت تابش موج مایل خواهد بود.

6- مراجع

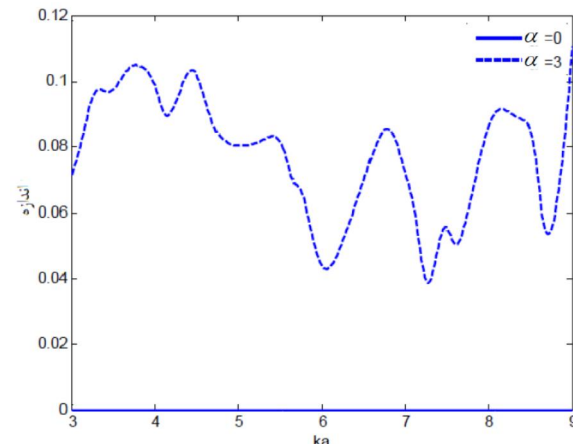
- [1] L. Flax, L. R. Dragonette, H. Überall, Theory of elastic resonance excitation by sound scattering, *Journal of Acoustic Society America*, Vol. 63, pp.723-731, 1978.
- [2] M. de Billy, Resonance angular diagrams observed from anisotropic cylinders submitted to an acoustic excitation, *Journal of Acoustic Society America*, Vol. 97, pp.852-855, 1995.
- [3] F. Honarvar, A. N. Sinclair, Acoustic wave scattering from transversely isotropic cylinders, *Journal of Acoustic Society of America*, Vol. 100, pp.57-63, 1996.
- [4] Y. Fan, A. N. Sinclair, F. Honarvar, Scattering of a plane acoustic wave from a transversely isotropic cylinder encased in a solid elastic medium, *Journal of Acoustic Society America*, Vol. 106, pp. 1229-1236, 1999.
- [5] J. Jamali, M. H. Naei, F. Honarvar, M. Rajabi, Acoustic Scattering and Radiation Force Function Experienced by Functionally Graded Cylindrical Shells, *Journal of Mechanics*, Vol. 27, pp. 227-243, 2011.
- [6] S. Biwa, S. Yamamoto, F. Kobayashi, N. Ohno, Computational multiple scattering analysis for shear wave propagation in unidirectional composites, *International Journal of Solids and Structures*, Vol. 41, pp. 435-457, 2004.



شکل 9 تابع فرم موج طولی پراکنده شده از دو استوانه تحت تابش موج طولی



شکل 10 تابع فرم موج SV پراکنده شده از دو استوانه تحت تابش موج طولی



شکل 11 تابع فرم موج SH پراکنده شده از دو استوانه تحت تابش موج طولی

شکل 10 و شکل 11 نیز به ترتیب امواج SV و SH پراکنده شده ناشی از تابش همین موج را نشان می‌دهند. همان‌طور که در این شکل‌ها دیده می‌شود و انتظار می‌رود، اندازه موج SH پراکنده شده بسیار کوچک‌تر از دو موج دیگر است.

در پراکندگی چندگانه، در حالت تابش مایل، پس از برخورد هر یک از سه نوع موج طولی، SV و SH به استوانه‌ها، هر سه نوع موج ایجاد و پراکنده می‌شوند و هر یک از این سه نوع موج پراکنده شده پس از برخورد به سایر استوانه‌ها سه نوع موج دیگر را ایجاد می‌کنند. لذا، تعداد پراکندگی‌هایی که لازم است بررسی شود به صورت تصاعدی افزایش می‌یابد. اما، در حالت تابش قائم، است بررسی شود به صورت تصاعدی افزایش می‌یابند. اما، در حالت تابش موج مایل خواهد بود.

- [11] P. Daryabor, M. Farzin, F. Honarvar, Calculating the Lamb wave modes in an aluminum sheet bonded to a composite layer with FEM and experiment, *Modares Mechanical Engineering Scientific Research Journal*, Vol 13, pp. 95-106, 2013 (in Persian).
- [12] F. Honarvar, A. N. Sinclair, Nondestructive Evaluation of cylindrical components by resonance acoustic spectroscopy, *Ultrasonics*, Vol. 36, pp. 845-854, 1998.
- [13] M. Cassier, C. Hazard, Multiple scattering of acoustic waves by small sound-soft obstacles in two dimensions: mathematical justification of the Foldy-LaxModel, *Wave Motin*, Vol. 50, pp. 18-28, 2013.
- [14] M. Brigante, On Multiple Scatteringin Acoustic Media: A Deterministic Ray Tracing Method for Random Structures, *Ultrasonics*, Vol. 53, pp. 652-657, 2013.
- [7] S. Lethuillier, J. M. Conoir, P. Pareige, J. L. Izbicki, Resonant acoustic scattering by a finite linear grating of elastic shells, *Journal of Ultrasonics*, Vol. 41, pp. 655-662, 2003.
- [8] S. M. Hasheminejad, M. A. Alibakhshi, Dynamic viscoelastic and multiple scattering effects in fiber suspensions, *Journal of Dispersion Science and Technology*, Vol. 27, pp. 219-234, 2006.
- [9] S. Sodagar, F. Honarvar, A. N. Sinclair, Multiple scattering of an obliquely incident plane acoustic wave from a grating of immersed cylindrical shells, *Journal of Applied Acoustics*, Vol. 72, pp. 411-419, 2011.
- [10] K. Daneshjoo, M. Rahimzadeh, Elastic wave propagation in composites with random distribution of spherical inclusions using dynamic generalizedself-consistentmodel, *Modares Mechanical Engineering Scientific Research Journal*, Vol 13, pp. 196-206, 2014 (in Persian).